

УДК 519.63

## НЕЛИНЕЙНЫЕ РЕЖИМЫ КОЛЕБАНИЙ УПРУГОЙ ПАНЕЛИ ПОД ДЕЙСТВИЕМ ПЕРИОДИЧЕСКОЙ НАГРУЗКИ

А. Л. Тукмаков

Институт механики и машиностроения Казанского научного центра РАН, 420111 Казань

Рассмотрено нелинейное поведение непологий тонкой упругой цилиндрической панели с условиями шарнирного опирания продольных кромок, возникающее при динамической потере устойчивости под действием равномерно распределенной периодической во времени нагрузки. Определены области регулярной и хаотической динамики для панелей с изгибом по симметричной и несимметричной форме. Показано, что в зависимости от частоты внешней нагрузки потеря устойчивости по несимметричной форме, связанная с достижением амплитудой нагрузки критического значения, может привести к двум различным динамическим режимам.

В зависимости от значений управляющих параметров движение нелинейной детерминированной системы может носить регулярный или хаотический характер [1, 2]. Под регулярным понимается периодический или квазипериодический режим. Если же система обладает высокой чувствительностью к начальным условиям, то при определенных значениях управляющих параметров может осуществиться переход к хаотическому режиму движения, при котором происходит интенсивная перекачка энергии в низкочастотную область. Движение упругой панели, при котором прогибы превышают толщину панели или сравнимы с ней, описывается геометрически нелинейной системой уравнений, поэтому в такой системе также могут реализовываться хаотические режимы [3–5].

Для описания движения упругой панели применяется система динамических геометрически нелинейных уравнений теории оболочек в перемещениях, подчиняющихся гипотезе Кирхгофа — Лява [6, 7]:

$$\begin{aligned} \frac{1}{T^2} \frac{\partial^2 V}{\partial t^2} - (1 + \varepsilon) \frac{\partial^2 V}{\partial \alpha^2} + \frac{\partial W}{\partial \alpha} - \varepsilon \frac{\partial^3 W}{\partial \alpha^3} + F_1(V, W) = Z_\tau, \\ \frac{1}{T^2} \frac{\partial^2 W}{\partial t^2} + \gamma \frac{\partial W}{\partial t} + \varepsilon \frac{\partial^4 W}{\partial \alpha^4} + \varepsilon \frac{\partial^3 V}{\partial \alpha^3} - \frac{\partial V}{\partial \alpha} + F_2(V, W) = Z_n. \end{aligned} \quad (1)$$

Здесь  $Z_\tau$ ,  $Z_n$  — касательная и нормальная составляющие динамической нагрузки;  $F_1$ ,  $F_2$  — слагаемые, включающие нелинейные члены:

$$\begin{aligned} F_1 = & -\frac{\partial W}{\partial \alpha} + \left(\frac{\partial V}{\partial \alpha} - W\right) \left(\frac{\partial^2 V}{\partial \alpha^2} - \frac{\partial W}{\partial \alpha}\right) + \left(\frac{\partial W}{\partial \alpha} + V\right) \left(\frac{\partial^2 W}{\partial \alpha^2} + \frac{\partial W}{\partial \alpha}\right) + \varepsilon \left(\left(\frac{\partial W}{\partial \alpha} + V\right) \left(\frac{\partial^2 W}{\partial \alpha^2} - \frac{\partial^3 V}{\partial \alpha^3}\right) + \right. \\ & \left. + \frac{\partial^3 W}{\partial \alpha^3} + \left(\frac{\partial V}{\partial \alpha} - W\right) \left(\frac{\partial^3 W}{\partial \alpha^3} + \frac{\partial^2 V}{\partial \alpha^2}\right)\right) + \varepsilon \left(\left(\frac{\partial^2 W}{\partial \alpha^2} + V\right) \left(\frac{\partial^2 W}{\partial \alpha^2} - \frac{\partial^3 V}{\partial \alpha^3}\right) + \right. \\ & \left. + \left(1 + \frac{\partial V}{\partial \alpha} - W\right) \left(\frac{\partial^3 W}{\partial \alpha^3} + \frac{\partial^2 V}{\partial \alpha^2}\right)\right) \left(\left(\frac{\partial W}{\partial \alpha} + V\right) \left(\frac{\partial W}{\partial \alpha} - \frac{\partial^2 V}{\partial \alpha^2}\right) + \left(1 + \frac{\partial V}{\partial \alpha} - W\right) \left(\frac{\partial^2 W}{\partial \alpha^2} + \frac{\partial V}{\partial \alpha}\right)\right), \end{aligned}$$

$$\begin{aligned}
 F_2 = & -\varepsilon \frac{\partial^3 V}{\partial \alpha^3} + \frac{\partial V}{\partial \alpha} + \frac{1}{2} \left( \frac{\partial V}{\partial \alpha} - W \right)^2 + \frac{1}{2} \left( \frac{\partial W}{\partial \alpha} + V \right)^2 + \varepsilon \left( \left( \frac{\partial^2 W}{\partial \alpha^2} + \frac{\partial V}{\partial \alpha} \right) \left( \frac{\partial^3 V}{\partial \alpha^3} - \frac{\partial^2 W}{\partial \alpha^2} \right) + \right. \\
 & + \left. \left( \frac{\partial W}{\partial \alpha} + V \right) \left( \frac{\partial^4 V}{\partial \alpha^4} - \frac{\partial^3 W}{\partial \alpha^3} \right) - \left( \frac{\partial^2 V}{\partial \alpha^2} - \frac{\partial W}{\partial \alpha} \right) \left( \frac{\partial^3 W}{\partial \alpha^3} + \frac{\partial^2 V}{\partial \alpha^2} \right) - \left( \frac{\partial V}{\partial \alpha} - W \right) \left( \frac{\partial^4 W}{\partial \alpha^4} + \frac{\partial^3 V}{\partial \alpha^3} \right) \right) + \\
 & + \left( \frac{\partial V}{\partial \alpha} - W + \frac{1}{2} \left( \frac{\partial V}{\partial \alpha} - W \right)^2 + \frac{1}{2} \left( \frac{\partial W}{\partial \alpha} + V \right)^2 \right) \left( \left( \frac{\partial W}{\partial \alpha} + V \right) \left( \frac{\partial W}{\partial \alpha} - \frac{\partial^2 V}{\partial \alpha^2} \right) + \right. \\
 & \left. + \left( 1 + \frac{\partial V}{\partial \alpha} - W \right) \left( \frac{\partial^2 W}{\partial \alpha^2} + \frac{\partial V}{\partial \alpha} \right) \right);
 \end{aligned}$$

$W, V$  — прогиб и касательное перемещение фиксированных (лагранжевых) точек срединной поверхности, отнесенные к радиусу  $R$  недеформированной панели;  $\varepsilon = \delta^2/12$ ;  $\delta = h/R$ ;  $T^2 = E/(\rho(1 - \mu^2))$ ;  $h, \rho$  — толщина и плотность материала панели;  $E$  — модуль упругости;  $\mu$  — коэффициент Пуассона. В уравнение для прогиба введен член  $\gamma(\partial W/\partial t)$ , описывающий конструктивное демпфирование. Величину прогиба считаем положительной в направлении к центру кривизны, касательное перемещение положительно в направлении часовой стрелки. Граничные условия на продольных кромках панели для условий шарнирного опирания задаются в виде

$$W = 0, \quad V = 0, \quad \frac{\partial^2 W}{\partial \alpha^2} = 0 \quad \text{при} \quad \alpha = \alpha_1, \quad \alpha = \alpha_2. \quad (2)$$

Предполагается, что в начальный момент времени точки панели неподвижны:

$$W = 0, \quad V = 0, \quad \frac{\partial W}{\partial t} = 0, \quad \frac{\partial V}{\partial t} = 0 \quad \text{при} \quad t = 0, \quad \alpha_1 \leq \alpha \leq \alpha_2. \quad (3)$$

Нормальная составляющая  $Z_n$  динамической нагрузки периодически изменяется во времени, а касательная составляющая  $Z_\tau$  равна нулю:

$$Z_n = AD \sin(\omega t), \quad Z_\tau = 0. \quad (4)$$

Здесь  $A$  — амплитуда внешней нагрузки;  $D = Eh^3/(12(1 - \mu^2))$  — изгибная жесткость панели;  $\omega$  — частота внешней нагрузки. Нагрузка полагается жесткой, не зависящей от формы срединной поверхности.

Система (1) с условиями (2)–(4) решалась методом конечных разностей с использованием неявных разностных схем второго порядка точности [7–9]. При анализе решения системы строился спектр мощности сигнала

$$|\bar{X}_k|^2 = \left| \frac{1}{\sqrt{n}} \sum_{j=1}^n X_j \exp \left( -i \frac{2\pi k j}{n} \right) \right|^2,$$

где  $|\bar{X}_k|^2$  — дискретная составляющая спектра мощности, зависящая от частоты;  $X_j$  — величина прогиба средней точки панели в момент времени  $t_j = j\Delta t$ ;  $\Delta t$  — шаг по времени.

В соответствии с теоремой Винера — Хинчина (с точностью до числового множителя) автокорреляционная функция  $\psi_k$  в момент времени  $t_k = k\Delta t$  определялась как фурье-преобразование спектра мощности [1, 2]:

$$\psi_k = \frac{1}{\sqrt{n}} \sum_{j=1}^n |\bar{X}_j|^2 \exp \left( -i \frac{2\pi k j}{n} \right).$$

Для исследования эволюции сигнала и степени его хаотичности определялись динамическая и статическая характеристики аттрактора: информация Шеннона и нижняя граница хаусдорфовой размерности  $D_2$  [1, 2]. В фазовом пространстве  $(W, dW/dt, d^2W/dt^2)$

вводилось множество состояний, для этого занятая аттрактором область покрывалась сеткой с ячейкой длины  $l$ . Под состоянием системы понималась принадлежность точки аттрактора фиксированной ячейке сетки. В качестве динамической характеристики рассматривалось среднее значение приращения информации Шеннона [2]

$$\Delta \bar{I} = \frac{1}{N} \sum_{n=1}^N \Delta I_n,$$

где  $\Delta I_n = I_{n+1} - I_n$ ;  $I_n = \sum_{i=1}^{J_1} P_i \log_2 P_i$ ;  $I_{n+1} = \sum_{i=1}^{J_2} P_i \log_2 P_i$ .

На основе анализа сигнала для каждого момента времени  $t_j$  определялись состояние системы  $n$  и множества состояний  $M_1, M_2$ , в которые может перейти система в последующие моменты времени  $t_{j+1}, t_{j+2}$ . Множества  $M_1, M_2$  содержат  $J_1$  и  $J_2$  различных состояний. В выражениях для информации  $I_n, I_{n+1}$  через  $P_i$  обозначены вероятности перехода системы из состояния  $n$  в некоторые состояния множеств  $M_1$  и  $M_2$  соответственно. Если среднее значение приращения информации Шеннона положительно, то среднее число состояний, в которые может перейти система в данный момент времени, больше единицы и динамический процесс хаотический. Если эта величина равна нулю, то переход из любого состояния в последующее может осуществиться единственным способом и динамика является регулярной [2]. Значения  $J_1, J_2, P_i$  определялись из анализа аттрактора в пространстве состояний фазовой системы.

В качестве статической характеристики аттрактора использовалась нижняя граница хаусдорфовой размерности, полученная с помощью корреляционного интеграла [2]:

$$D_2 = \lim_{l \rightarrow 0} (\ln C(l) / \ln l), \quad C(l) = \lim_{l \rightarrow 0} (1/N^2) \sum_{i,j} \theta(l - |\mathbf{x}_i - \mathbf{x}_j|).$$

Здесь  $l$  — длина ребра кубической ячейки, на которые разбивается область, занятая аттрактором;  $N$  — число точек аттрактора;  $\theta$  — функция Хевисайда;  $\mathbf{x}_i, \mathbf{x}_j$  — радиус-векторы точек аттрактора в фазовом пространстве. Величина  $D_2$  определялась как тангенс угла наклона к оси  $\log_2 l$  линейного участка (вне области насыщения и области, где статистическая информация недостаточна) зависимости  $\log_2 C(l)$  от  $\log_2 l$ .

В соответствии с изложенной методикой исследовалась зависимость динамического поведения панели от амплитудного значения внешней нагрузки при заданной частоте. Расчеты проводились для панелей с параметрами  $\delta = 0,01$ ,  $\rho = 4500 \text{ кг/м}^3$ ,  $T = 5000 \text{ м/с}$ ,  $\gamma = 0,0001$ .

*Нелинейные колебания симметричной формы.* Приведем результаты расчетов для панели с параметром кривизны  $K = 4L^2/(Rh) = 4$  ( $2L$  — длина пролета панели), при котором изгиб происходит по симметричной форме [10]. Внешняя нагрузка изменяется по гармоническому закону (4) с частотой, равной нижней собственной частоте колебаний упругой панели. На рис. 1 показана зависимость прогиба  $W$  в средней точке панели от времени  $t$  при наименьшей амплитуде внешней нагрузки  $A = 150$ , допускающей колебания с охватом обоих положений равновесия. В фазовом пространстве формируется аттрактор с нижней границей хаусдорфовой размерности  $D_2 = 2,15$ . Колебания происходят относительно двух устойчивых положений равновесия. Среднее значение приращения информации Шеннона положительно ( $\Delta \bar{I} = 0,7236$ ), спектр мощности содержит непрерывную низкочастотную составляющую, автокорреляционная функция на интересующем нас интервале своего определения убывает. Для данных параметров панели и нагрузки, как следует из рассмотренных критериев [1, 2], колебания носят хаотический характер.

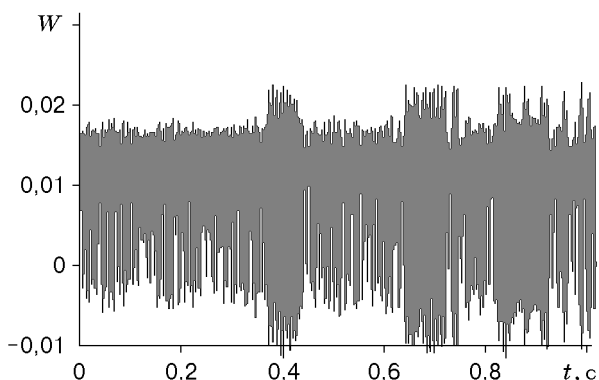


Рис. 1

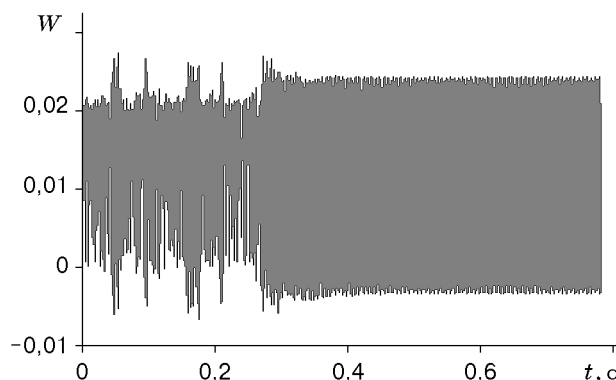


Рис. 2

Сохранив прежние параметры панели и условия закрепления, увеличим амплитуду внешней нагрузки при той же частоте до значения  $A = 200$ . На рис. 2 показана зависимость прогиба  $W$  в средней точке панели от времени  $t$ . Наблюдается начальный участок колебаний с хаотическими всплесками амплитуды прогиба. Начиная с момента времени  $t = 0,4$  с происходит процесс установления квазипериодического режима. Это следует из уменьшения мощности непрерывной низкочастотной составляющей относительно мощности внешней нагрузки и характера автокорреляционной функции, совершающей колебания около медленно меняющегося среднего значения. При  $t > 0,4$  с аттрактор приближается к предельному циклу и его размерность снижается до  $D_2 = 1,21$ , среднее значение приращения информации Шеннона  $\Delta \bar{I} = 0$ . Анализ сечения Пуанкаре аттрактора плоскостью  $W = 0,5$  в трехмерном фазовом пространстве показывает, что в этой плоскости аттрактор испытывает сжатие. При выбранных параметрах задачи из анализа результатов следует, что при достаточно большом значении амплитуды нагрузки в системе происходит переход от хаотического режима к квазипериодическому. Если же амплитуда колебаний панели мала и не превышает толщины панели, то в системе реализуются квазипериодические колебания. Таким образом, если в качестве управляющего параметра рассматривается амплитуда внешней нагрузки, то область хаотической динамики располагается между двумя областями с регулярной динамикой.

*Нелинейные колебания несимметричной формы.* Колебания упругой панели несимметричной формы реализуются при значениях параметра кривизны  $K = 4L^2/(Rh) > 9,04$  [10]. В качестве примера приведем результаты расчетов при  $K = 19,6$ ,  $\delta = 0,01$ ,  $\rho = 4500$  кг/м<sup>3</sup>,

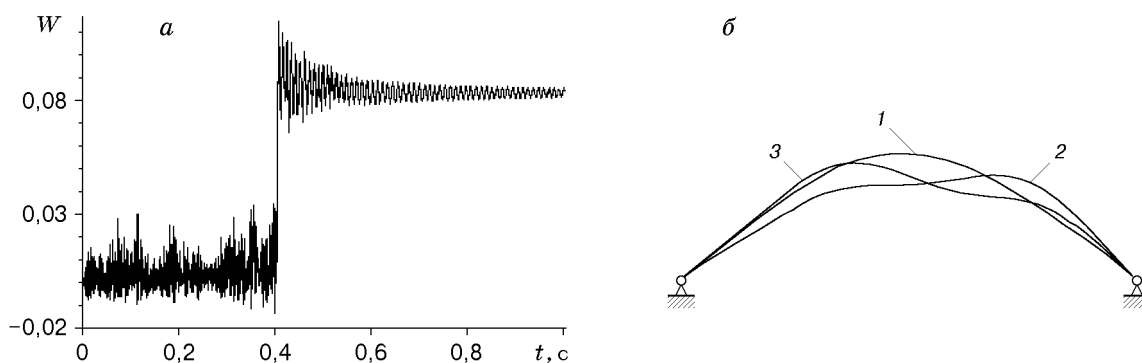


Рис. 3

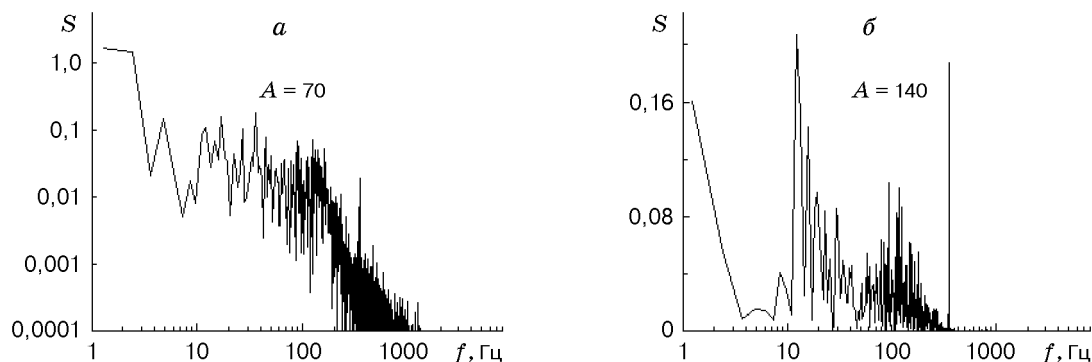


Рис. 4

$T = 5000$  м/с,  $\gamma = 0,0001$ . В этом случае нижняя собственная частота недеформированной панели  $f_1 = 500$  Гц. На рис. 3 представлены зависимость прогиба  $W$  в средней точке панели от времени (*a*) и форма панели в отдельные моменты времени (*б*) (кривые 1–3 —  $t = 0,01; 0,02; 0,03$  с) при частоте внешней нагрузки, совпадающей с нижней резонансной, и минимальной амплитуде  $A = 60$ , при которой происходит «хлопок». Характерной особенностью данного режима является то, что обратного «выхлопа» панели не происходит. Это связано с тем, что резонансные частоты панели в двух положениях равновесия существенно различны. Так, для данных параметров панели нижняя собственная частота колебаний в исходном положении  $f_1 = 500$  Гц, а в прощелкнутом положении  $f_1 = 100$  Гц. Поскольку потеря устойчивости происходит на резонансной частоте, то амплитуда колебаний нагрузки не слишком велика. В прощелкнутом положении резонансная частота не совпадает с частотой нагрузки, в результате чего устанавливаются регулярные квазипериодические колебания вблизи нижнего устойчивого положения (рис. 3, *б*).

При постепенном увеличении амплитуды нагрузки на частоте, смещенной от резонансной, после «хлопка» происходят нерегулярные колебания с охватом обоих положений равновесия. На рис. 4, *a* представлена зависимость мощности колебаний  $S$  в средней точке панели от частоты колебаний  $f$  при частоте внешней нагрузки  $f_H = 350$  Гц и минимальной амплитуде  $A = 70$ , при которой происходит потеря устойчивости. Амплитуда критической нагрузки в этом случае выше, и подводимой мощности достаточно для возникновения колебаний с предельно возможной амплитудой прогиба. Спектр мощности колебаний содержит непрерывную составляющую в низкочастотной области, что позволяет классифицировать динамический режим как хаотический. При увеличении амплитуды нагрузки ( $A = 140$ ) уменьшается низкочастотная составляющая спектра мощности относительно частоты внешней силы (рис. 4, *б*). Тем не менее ее присутствие в спектре мощности не позволяет отнести динамический режим к квазипериодическому типу.

#### ЛИТЕРАТУРА

1. Берже П., Помо И., Видаль К. Порядок в хаосе. О детерминистском подходе к турбулентности. М.: Мир, 1991.
2. Шустер Г. Детерминированный хаос. М.: Мир, 1988.
3. Holmes P., Moon F. Strange attractors and chaos in nonlinear mechanics // Trans. ASME. Ser. E. J. Appl. Mech. 1983. V. 50. P. 1021–1032.
4. Lenci S., Tarantino A. M. Bifurcation and chaos in a bilinear constrained column // Europ. J. Mech. 1995. V. 14, N 5. P. 789–806.

5. **Крысько М. А., Петров В. В., Миткевич С. А.** Сложные колебания и жесткая потеря устойчивости геометрически нелинейных пластин при продольных нагрузках // Тр. XVIII Междунар. конф. по теории оболочек и пластин. Саратов: Изд-во Саратов. гос. техн. ун-та, 1997. Т. 1. С. 160–174.
6. **Муштари Х. М., Галимов К. З.** Нелинейная теория упругих оболочек. Казань: Таткнигоиздат, 1957.
7. **Вольмир А. С.** Оболочки в потоке жидкости и газа. Задачи аэроупругости. М.: Наука, 1976.
8. **Ильгамов М. А., Тукмаков А. Л.** Численное моделирование нелинейного взаимодействия упругой оболочки с потоком газа // Изв. вузов. Авиац. техника. 1995. № 3. С. 1–7.
9. **Ильгамов М. А., Тукмаков А. Л.** Численное моделирование нелинейного взаимодействия упругой панели с потоком газа // Изв. РАН. Механика твердого тела. 1996. № 5. С. 134–141.
10. **Корнишин М. С., Исанбаева Ф. С.** Гибкие пластины и панели. М.: Наука, 1968.

*Поступила в редакцию 14/V 1998 г.,  
в окончательном варианте — 23/XI 1998 г.*

---